

# Análisis exploratorio y modelos de aprendizaje:

## Caso de estudio Adventure Works



Adrià Sagrera

# ÍNDICE

1. ANÁLISIS EXPLORATORIO DE LOS DATOS (EDA) .....	3
2. MODELOS DE APRENDIZAJE SUPERVISADO .....	8
2.1 <i>Modelo de regresión logística</i> .....	8
2.2 <i>Modelo Árbol de decisión</i> .....	14
3. MODELOS DE APRENDIZAJE NO SUPERVISADO .....	18
3.1 <i>Modelo de clusterización K-MEANS</i> .....	18

## 1. ANÁLISIS EXPLORATORIO DE LOS DATOS (EDA)

Figura 1 Comandos básicos R

Fuente: elaboración propia

El “dataset” se compone de 18.484 registros y 19 variables; 8 numéricas, 9 categóricas y 2 en formato fecha. Además, observamos que no hay valores nulos.

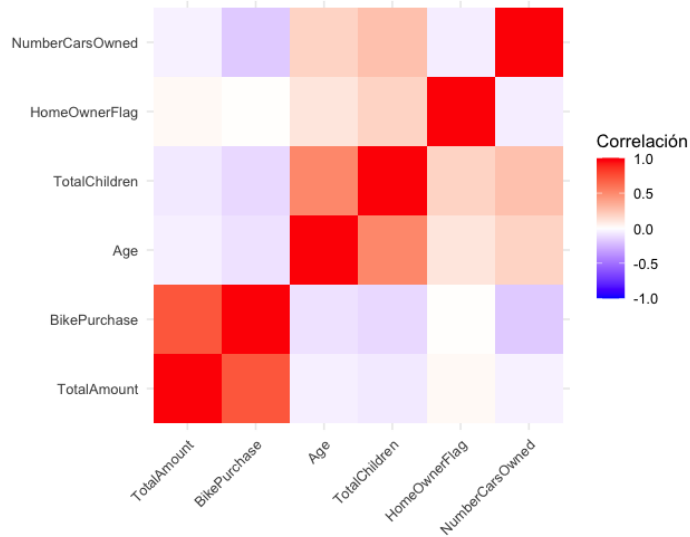
Figura 2: Matriz de correlación

```

> #correlación
> variables_numericas <- Clientes[sapply(Clientes, is.numeric)]
> correlaciones <- cor(variables_numericas, use = "complete.obs", method = "pearson")
> print(correlaciones)
      TotalAmount BikePurchase CustomerID PersonID      Age
TotalAmount  1.00000000  0.724472470 -0.247659153 -0.0018305200 -0.04927731
BikePurchase  0.72447247  1.000000000  0.0058039415 -0.0134880406 -0.09829074
CustomerID   -0.24765915  0.005803941  1.0000000000 -0.0002027785 -0.01361685
PersonID     -0.00183052 -0.013488041 -0.0002027785  1.0000000000 -0.00417936
Age          -0.04927731 -0.098290740 -0.0136168513 -0.0041793601  1.00000000
TotalChildren 0.07380584 -0.127152246 -0.0060767714  0.0051763756  0.51644310
HomeOwnerFlag 0.02874607  0.007493770 -0.1247549970 -0.0085762664  0.10933082
NumberCarsOwned 0.04474670 -0.180865163  0.0057038566  0.0132587326  0.18574240
      TotalChildren HomeOwnerFlag NumberCarsOwned
TotalAmount   -0.073805844  0.028746071 -0.044746701
BikePurchase   -0.127152246  0.007493770 -0.180865163
CustomerID    -0.006076771 -0.124754997  0.005703857
PersonID      0.005176376 -0.008576266  0.013258733
Age           0.516443095  0.109330823  0.185742403
TotalChildren  1.000000000  0.185741534  0.265405072
HomeOwnerFlag  0.185741534  1.000000000 -0.057983482
NumberCarsOwned 0.265405072 -0.057983482  1.000000000
  
```

Fuente: elaboración propia

Figura 3: Matriz de correlación grafica

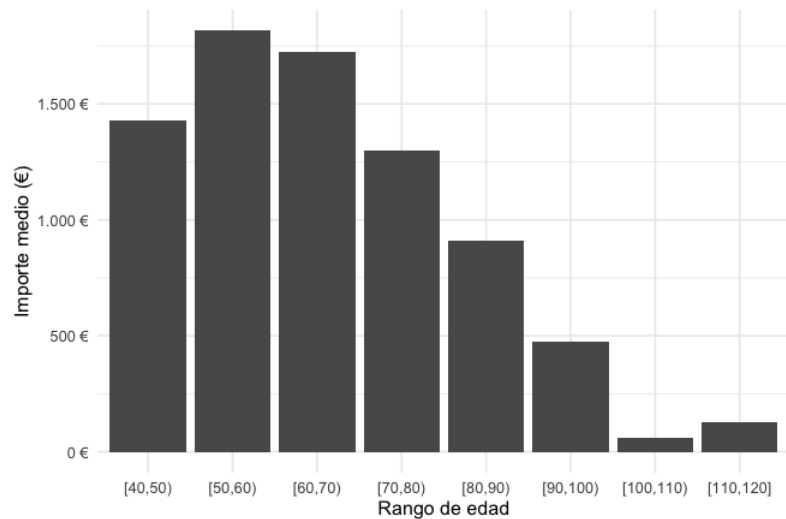


Fuente: elaboración propia

El análisis de correlación destaca dos relaciones positivas significativas:

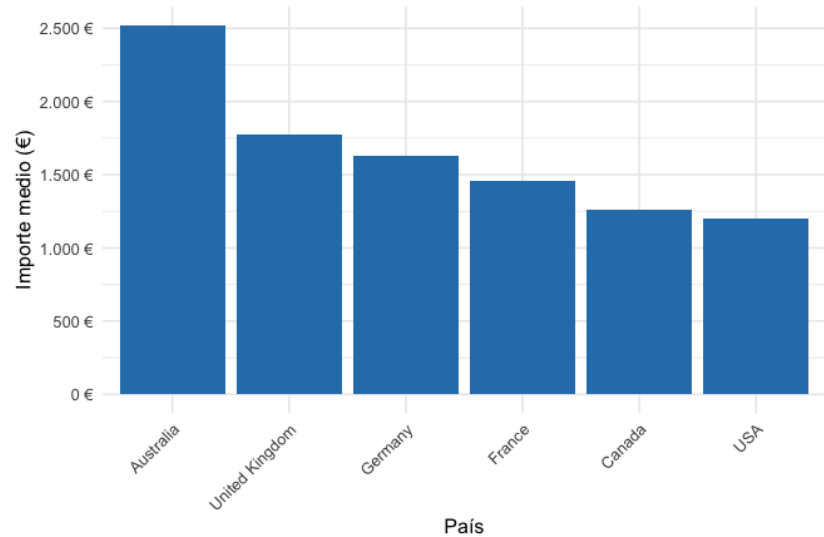
- 1. Gasto y Compra de bicicleta:** Existe una relación directa entre el **gasto total** y la **compra de bicicletas**, lo que confirma que este artículo es el principal desembolso del cliente.
- 2. Edad y Número de hijos:** Se observa una relación entre la **edad** y el **número de hijos**, vinculando a los perfiles de mayor edad con familias más amplias.

Figura 4: Importe medio por rango de edad



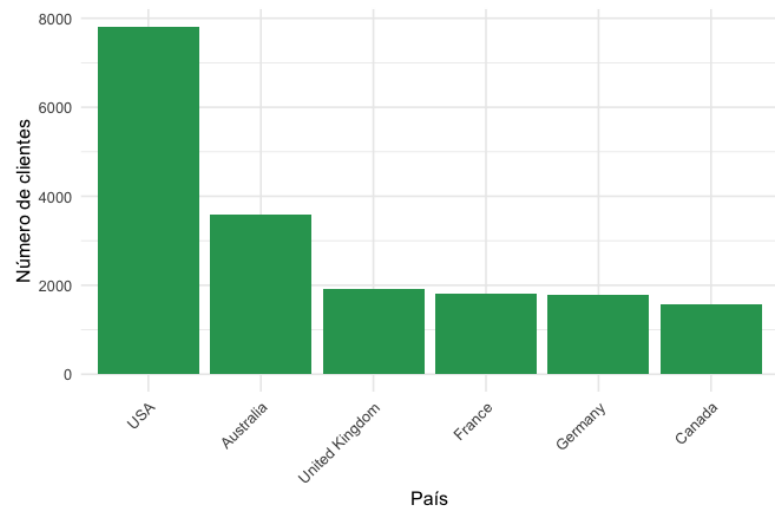
Fuente: elaboración propia

Figura 5: Importe medio por país



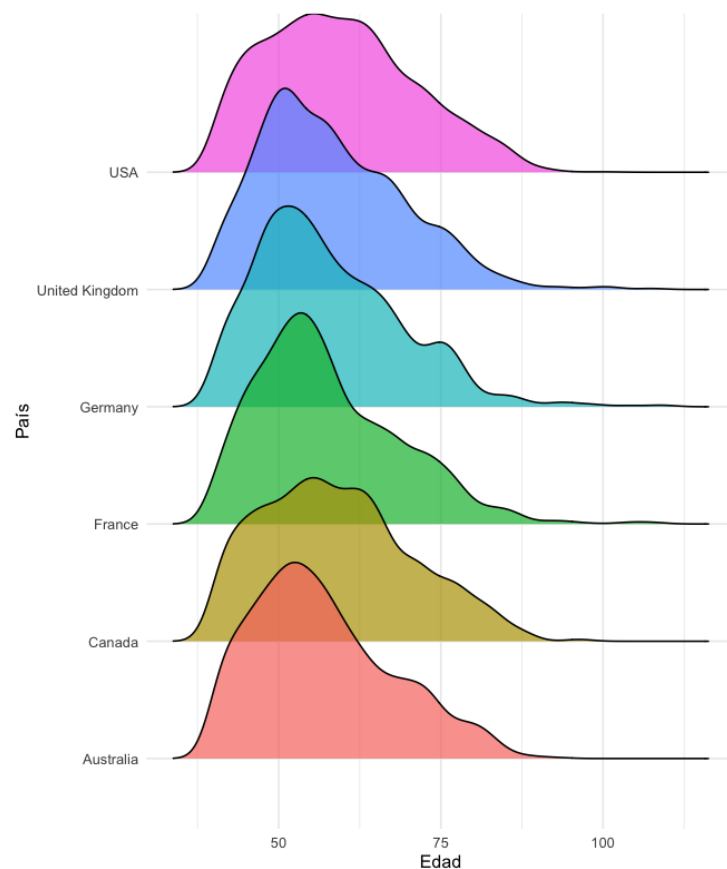
Fuente: elaboración propia

Figura 6: Número de clientes por país



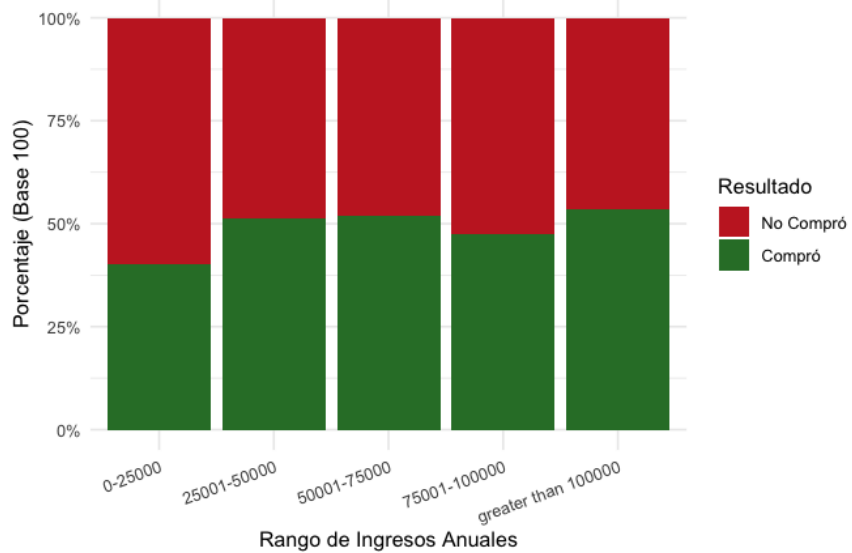
Fuente: elaboración propia

Figura 7: Distribución de clientes por edad y país



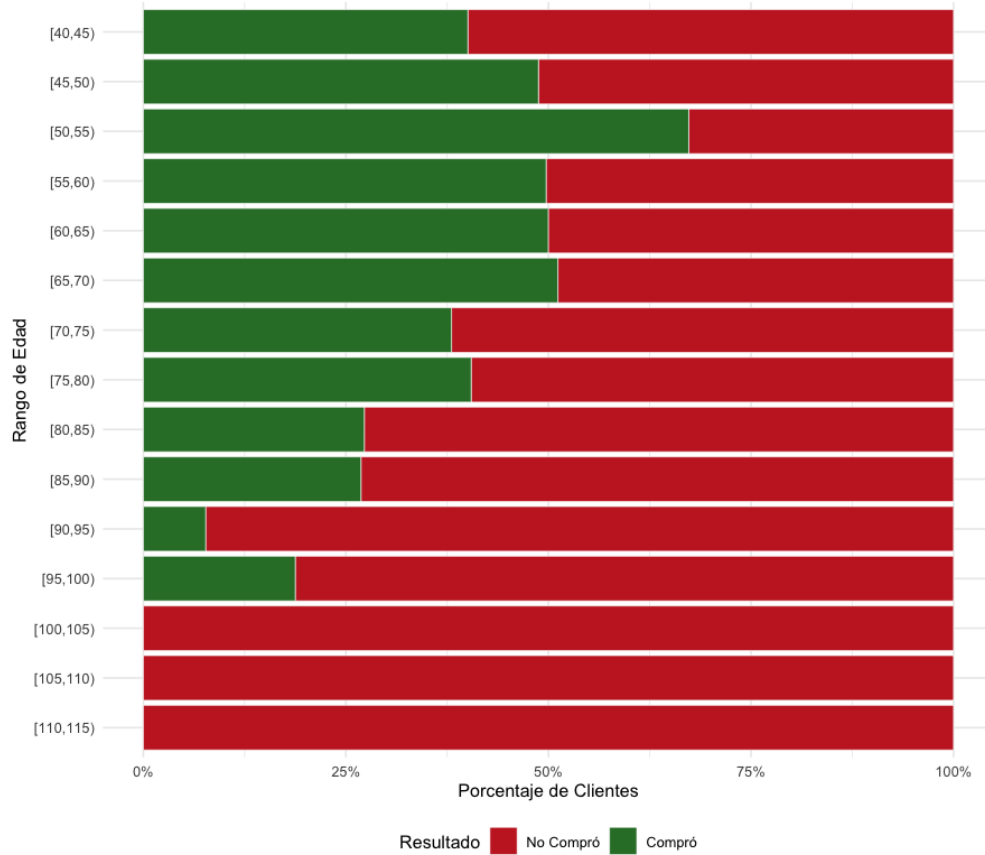
Fuente: elaboración propia

Figura 8: Proporción de compras por rango de ingresos



Fuente: elaboración propia

Figura 9: Proporción de compras por rango de edad



Fuente: elaboración propia

## 2. MODELOS DE APRENDIZAJE SUPERVISADO

### 2.1 Modelo de regresión logística

#### 2.1.1 Modelo 1

Realizamos regresión logística con los datos de entrenamiento, previamente divididos en validación y entrenamiento:

Figura 10: Modelo de regresión logística 1

```
> regresionlogistica_ent1 <- glm(BikePurchase~  
+                               TotalAmount+  
+                               as.factor(Country)+  
+                               Age+  
+                               as.factor(Gender)+  
+                               as.factor(MaritalStatus)+  
+                               as.factor(YearlyIncome)+  
+                               as.factor(TotalChildren)+  
+                               as.factor(Education)+  
+                               as.factor(Occupation)+  
+                               as.factor(HomeOwnerFlag)+  
+                               as.factor(NumberCarsOwned), data = entrenamiento, family="binomial")  
  
Coefficients:  
Estimate Std. Error z value Pr(>|z|)  
(Intercept) -8.130e+00 1.446e+00 -5.623 1.88e-08 ***  
TotalAmount 1.938e-02 7.146e-04 27.128 < 2e-16 ***  
as.factor(Country)Canada -4.493e+00 5.551e-01 -8.095 5.73e-16 ***  
as.factor(Country)Central 1.378e+00 7.621e+00 0.181 0.8565  
as.factor(Country)France -2.638e-01 7.832e-01 -0.337 0.7362  
as.factor(Country)Germany 5.699e-01 7.560e-01 0.754 0.4509  
as.factor(Country)Northeast -1.135e+01 1.206e+03 -0.009 0.9925  
as.factor(Country)Northwest 3.958e-01 5.005e-01 0.791 0.4291  
as.factor(Country)Southeast -1.009e+01 5.147e+02 -0.020 0.9844  
as.factor(Country)Southwest 7.601e-01 4.706e-01 1.615 0.1063  
as.factor(Country)United Kingdom 4.041e-01 6.700e-01 0.603 0.5465  
Age -3.151e-03 1.777e-02 -0.177 0.8593  
as.factor(Gender)M -1.029e-01 2.722e-01 -0.378 0.7054  
as.factor(MaritalStatus)S 4.327e-01 3.081e-01 1.404 0.1603  
as.factor(YearlyIncome)25001-50000 5.432e-01 8.643e-01 0.629 0.5297  
as.factor(YearlyIncome)50001-75000 9.186e-01 9.455e-01 0.972 0.3312  
as.factor(YearlyIncome)75001-100000 5.554e-01 1.018e+00 0.546 0.5854  
as.factor(YearlyIncome)greater than 100000 6.747e-01 1.218e+00 0.554 0.5795  
as.factor(TotalChildren)1 6.704e-01 4.958e-01 1.352 0.1764  
as.factor(TotalChildren)2 1.884e-01 5.044e-01 0.374 0.7088  
as.factor(TotalChildren)3 9.887e-01 5.224e-01 1.893 0.0584 .  
as.factor(TotalChildren)4 2.646e-01 5.424e-01 0.488 0.6257  
as.factor(TotalChildren)5 2.648e-01 7.647e-01 0.346 0.7291  
as.factor(Education)Graduate Degree -4.049e-01 4.827e-01 -0.839 0.4015  
as.factor(Education)High School -3.662e-01 4.846e-01 -0.756 0.4499  
as.factor(Education)Partial College -6.192e-01 4.324e-01 -1.432 0.1521  
as.factor(Education)Partial High School -1.131e-01 7.269e-01 -0.156 0.8763  
as.factor(Occupation)Management -2.069e-01 8.734e-01 -0.237 0.8127  
as.factor(Occupation)Manual 1.068e+00 9.221e-01 1.159 0.2466  
as.factor(Occupation)Professional -3.076e-01 6.911e-01 -0.445 0.6562  
as.factor(Occupation)Skilled Manual 5.000e-01 5.671e-01 0.882 0.3780  
as.factor(HomeOwnerFlag)1 -5.299e-01 3.253e-01 -1.629 0.1033  
as.factor(NumberCarsOwned)1 1.530e-01 4.994e-01 0.306 0.7594  
as.factor(NumberCarsOwned)2 -3.509e-01 5.452e-01 -0.644 0.5198  
as.factor(NumberCarsOwned)3 -8.378e-01 8.327e-01 -1.006 0.3144  
as.factor(NumberCarsOwned)4 -6.391e-01 9.209e-01 -0.694 0.4877
```

Fuente: elaboración propia

Tras analizar los coeficientes del modelo, se observa que la variable TotalAmount presenta una significancia estadística muy elevada. Este fenómeno se explica porque, al ser las bicicletas los artículos más caros de la

tienda, un monto total de gasto elevado determina en gran medida la variable dependiente (Y). En la práctica, el gasto actúa casi como un reflejo directo del hecho de haber comprado una bicicleta, lo que termina "opacando" el peso real de los demás factores.

Si bien su inclusión aumenta la precisión técnica, nuestro objetivo principal es profundizar en la comprensión del perfil del cliente y descubrir qué otros factores socioeconómicos influyen en la decisión de compra. Por este motivo, para evitar que el peso del gasto total esconda el efecto de variables como la educación, el país o la ocupación, optamos por excluir *TotalAmount* del análisis.

A continuación, se presenta un nuevo modelo de regresión generado sin esta variable ni tampoco las variables *Gender* y *HomeOwnerFlag*, con el fin de obtener una visión más equilibrada y detallada de los factores que caracterizan a nuestros compradores.

### 2.1.2 Modelo 2

Figura 11 Modelo de regresión logística 2

```
regresionlogistica_ent <- glm(BikePurchase~
  as.factor(Country) +
  Age +
  as.factor(MaritalStatus) +
  as.factor(YearlyIncome) +
  as.factor(TotalChildren) +
  as.factor(Education) +
  as.factor(Occupation) +
  as.factor(NumberCarsOwned), data = entrenamiento, family="binomial")
summary(regresionlogistica_ent)

Coefficients:
                                         Estimate Std. Error z value Pr(>|z|)
(Intercept)                               1.134902  0.154317  7.354  1.92e-13 ***
as.factor(Country)Canada                 -0.887616  0.076176 -11.652 < 2e-16 ***
as.factor(Country)Central                 -1.453323  0.877875 -1.656  0.097823 .
as.factor(Country)France                  -0.676583  0.077721 -8.705 < 2e-16 ***
as.factor(Country)Germany                 -0.539019  0.079278 -6.799  1.05e-11 ***
as.factor(Country)Northeast                -1.109828  0.766760 -1.447  0.147778
as.factor(Country)Northwest                -0.920682  0.062000 -14.850 < 2e-16 ***
as.factor(Country)Southeast                -1.039676  0.693452 -1.499  0.133802
as.factor(Country)Southwest                -0.678586  0.058408 -11.618 < 2e-16 ***
as.factor(Country)United Kingdom           -0.462803  0.077605 -5.964  2.47e-09 ***
Age                                         -0.012513  0.002287 -5.471  4.47e-08 ***
as.factor(MaritalStatus)S                  0.301523  0.037186  8.109  5.12e-16 ***
as.factor(YearlyIncome)25001-50000        0.881553  0.095221  9.258 < 2e-16 ***
as.factor(YearlyIncome)50001-75000        1.310367  0.109398 11.978 < 2e-16 ***
as.factor(YearlyIncome)75001-100000       1.218424  0.118043 10.322 < 2e-16 ***
as.factor(YearlyIncome)greater than 100000 1.915581  0.141946 13.495 < 2e-16 ***
as.factor(TotalChildren)1                  0.318813  0.061707  5.167  2.38e-07 ***
as.factor(TotalChildren)2                  0.271344  0.063158  4.296  1.74e-05 ***
as.factor(TotalChildren)3                  0.249947  0.068500  3.649  0.000263 ***
as.factor(TotalChildren)4                  -0.261127  0.070568 -3.700  0.000215 ***
as.factor(TotalChildren)5                  -0.365898  0.085511 -4.279  1.88e-05 ***
as.factor(Education)Graduate Degree       -0.391280  0.059566 -6.569  5.07e-11 ***
as.factor(Education)High School           -0.099806  0.063569 -1.570  0.116403
as.factor(Education)Partial College       -0.145906  0.056038 -2.604  0.009223 **
as.factor(Education)Partial High School   -0.486567  0.091831 -5.298  1.17e-07 ***
as.factor(Occupation)Management           -0.288555  0.109459 -2.636  0.008384 **
as.factor(Occupation)Manual               0.121530  0.102879  1.181  0.237488
as.factor(Occupation)Professional         -0.332906  0.086245 -3.860  0.000113 ***
as.factor(Occupation)Skilled Manual       -0.341809  0.070970 -4.816  1.46e-06 ***
as.factor(NumberCarsOwned)1                -0.584312  0.061445 -9.510 < 2e-16 ***
as.factor(NumberCarsOwned)2                -0.901101  0.067324 -13.384 < 2e-16 ***
as.factor(NumberCarsOwned)3                -1.267098  0.090653 -13.977 < 2e-16 ***
as.factor(NumberCarsOwned)4                -1.881111  0.110032 -17.096 < 2e-16 ***
```

Fuente: elaboración propia

Figura 12 Cálculo del VIF (Variance Inflation Factor)

```
> vif(regresionlogistica_ent2)
      GVIF Df GVIF^(1/(2*Df))
as.factor(Country)    2.698416  9    1.056697
Age                  2.136280  1    1.461602
as.factor(MaritalStatus) 1.133399  1    1.064612
as.factor(YearlyIncome) 20.970195 4    1.462852
as.factor(TotalChildren) 3.051508  5    1.118025
as.factor(Education)   3.977739  4    1.188378
as.factor(Occupation)  22.566301  4    1.476327
as.factor(NumberCarsOwned) 5.542764  4    1.238699
```

Fuente: elaboración propia

Se evaluó la independencia de las variables mediante el Factor de Inflación de la Varianza (VIF). Los resultados muestran que todos los valores de la métrica ajustada ( $GVIF^{1/(2*Df)}$ ) se encuentran por debajo de 1.5, situándose muy lejos del umbral crítico de 2.0. Esto confirma la ausencia de multicolinealidad en el modelo, garantizando que las variables predictoras no son redundantes y que los coeficientes estimados son estadísticamente fiables para el análisis del perfil del cliente.

Figura 13: Test de Hosmer-Lemeshow

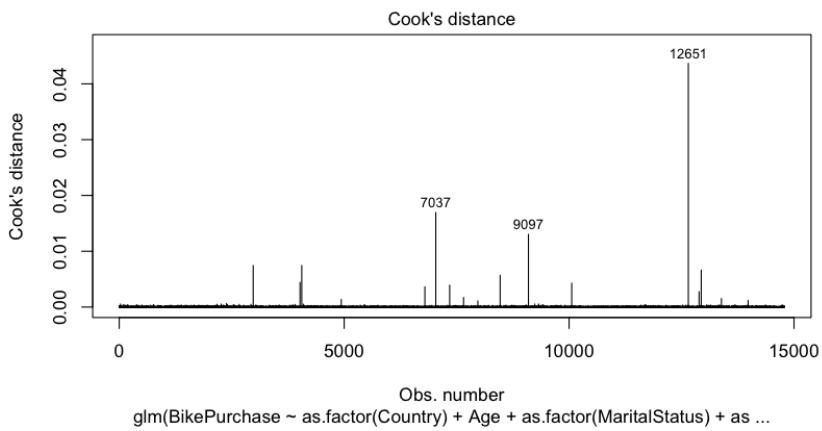
```
> hoslem.test(entrenamiento$BikePurchase, fitted(regresionlogistica_ent2))
Hosmer and Lemeshow goodness of fit (GOF) test

data:  entrenamiento$BikePurchase, fitted(regresionlogistica_ent2)
X-squared = 102.09, df = 8, p-value < 2.2e-16
```

Fuente: elaboración propia

El test de Hosmer-Lemeshow arrojó un  $p$ -valor  $< 0.05$ , lo que indica que el modelo no presenta un ajuste matemático perfecto entre las predicciones y los valores observados. Este resultado es habitual en modelos aplicados a grandes volúmenes de datos, donde el test se vuelve extremadamente sensible a pequeñas desviaciones. No obstante, dado que el objetivo del análisis es la identificación de perfiles y tendencias tras excluir la variable dominante *TotalAmount*, el modelo se considera plenamente válido y útil para la interpretación estratégica del comportamiento del cliente.

Figura 14: Distancia de Cook



Fuente: elaboración propia

Se calculó la Distancia de Cook para identificar posibles valores atípicos que pudieran sesgar los resultados del modelo. Como se observa en la gráfica, todos los registros presentan valores inferiores a 0.05, situándose muy por debajo del umbral crítico de 0.5. Esto confirma que el modelo no está influenciado por observaciones anómalas y que las tendencias identificadas en el perfil del cliente son estables y representativas de la muestra general.

#### 2.1.2.1 Análisis de los coeficientes del modelo

Los resultados del modelo permiten trazar un perfil muy específico del comprador de bicicletas. Lo primero que salta a la vista es que el **nivel de ingresos** es el predictor de éxito más sólido; específicamente, aquellos clientes que superan los 100,000 anuales muestran la mayor disposición de compra, seguidos de cerca por el rango de ingresos medios.

Este interés se ve reforzado si el cliente es soltero, ya que este **estado civil** presenta una probabilidad de compra significativamente más alta que la de las personas casadas. En cuanto al entorno familiar, existe un "punto de equilibrio" interesante: tener entre uno y tres hijos incentiva la compra, pero al llegar a cuatro

o más, la tendencia se invierte drásticamente, probablemente por una cuestión de prioridades de gasto o logística familiar.

Por el contrario, el mayor freno para la venta de bicicletas es, sin duda, la **cantidad de vehículos** que ya posee el cliente en su hogar. Se observa una caída muy grande en la probabilidad de compra a medida que aumenta el número de coches, lo que sugiere que el automóvil funciona como un sustituto directo tanto en el transporte como en el ocio. A esto se suma que el interés decrece conforme aumenta la **edad** del consumidor y en ciertas categorías profesionales o educativas más altas (como posgrados o puestos de gerencia), sectores que parecen optar por otras alternativas de recreación. **Geográficamente**, las regiones fuera del mercado principal muestran un rendimiento menor, lo que indica que el éxito de las ventas sigue muy vinculado a nichos geográficos y estilos de vida concretos.

Podríamos definir el cliente ideal para la compra de bicicletas como:

**Un cliente joven, soltero, con ingresos altos (más de 100,000), que tiene entre 1 y 3 hijos y, fundamentalmente, que no posee autos (o tiene muy pocos).**

Figura 15: Matriz de confusión (datos de validación)

```
Confusion Matrix and Statistics

Reference
Prediction   0   1
            0 4780 2702
            1 2554 4752

Accuracy : 0.6446
95% CI  : (0.6368, 0.6523)
No Information Rate : 0.5041
P-Value [Acc > NIR] : <2e-16

Kappa : 0.2892

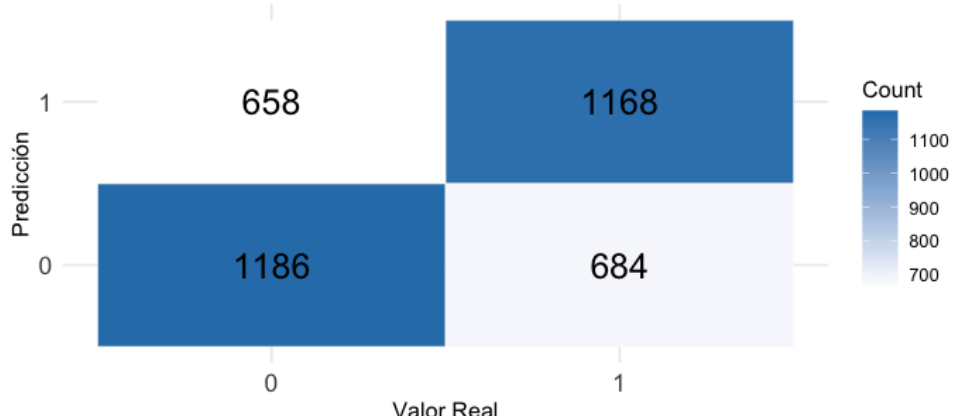
McNemar's Test P-Value : 0.0426

Sensitivity : 0.6518
Specificity : 0.6375
Pos Pred Value : 0.6389
Neg Pred Value : 0.6504
Prevalence : 0.4959
Detection Rate : 0.3232
Detection Prevalence : 0.5060
Balanced Accuracy : 0.6446

'Positive' Class : 0
```

Fuente: elaboración propia

Figura 16: Matriz de confusión gráfica (datos de validación)



Fuente: elaboración propia

Se alcanza una **precisión global cercana al 64%**, un resultado razonable considerando que el análisis se basa exclusivamente en factores demográficos y socioeconómicos.

Se identifica simetría en los errores; el modelo falla casi con la misma frecuencia al predecir a un comprador que finalmente no lo es (658 casos) que al ignorar a un comprador real (684 casos).

En la práctica, esto significa que el modelo permite **identificar correctamente a 6 de cada 10 clientes potenciales**, proporcionando una base sólida para segmentar. Y a modo de ejemplo: lanzar campañas de marketing precisas y dirigidas sin necesidad de depender de datos de consumo previo.

Figura 17: Cálculo de *accuracy base*

```
> prop.table(table(entrenamiento$BikePurchase))
```

0	1
0.5059508	0.4940492

Fuente: elaboración propia

El modelo alcanza una precisión del **63.7%**, superando el umbral de la 'apuesta tonta' (**50.59%**), lo que valida su utilidad al mejorar significativamente la capacidad de predicción sobre la simple tendencia de la clase mayoritaria.

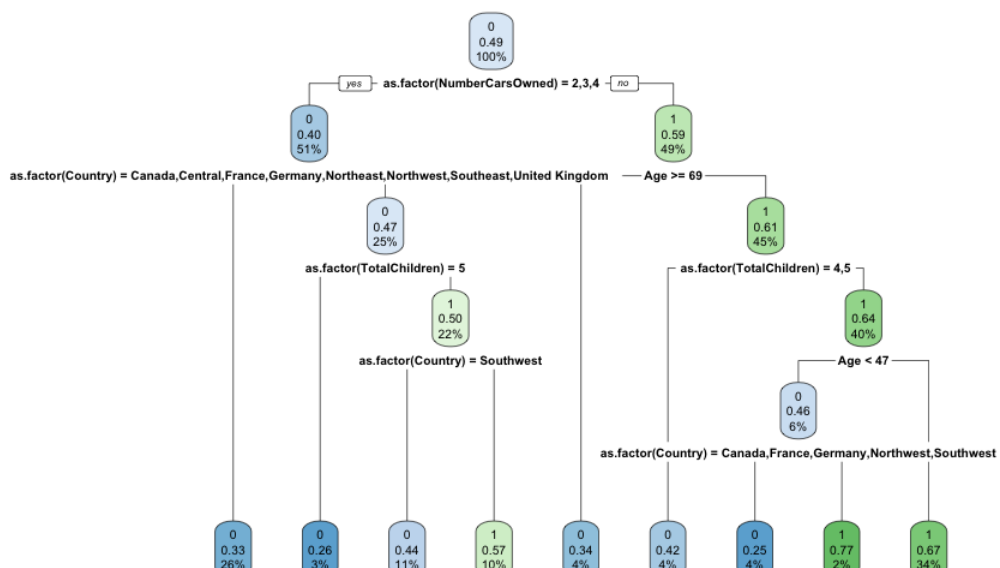
## 2.2 Modelo Árbol de Decisión

Figura 18: Modelo Árbol de decisión

```
modeloarbol <- rpart(as.factor(BikePurchase)~
                      as.factor(Country)+
                      Age+
                      as.factor(MaritalStatus)+
                      as.factor(YearlyIncome)+
                      as.factor(TotalChildren)+
                      as.factor(Education)+
                      as.factor(Occupation)+
                      as.factor(HomeOwnerFlag)+
                      as.factor(NumberCarsOwned),
                      data = entrenamiento, method = "class")
```

Fuente: elaboración propia

Figura 19: Modelo Árbol de Decisión (Gráfica)



Fuente: elaboración propia

Figura 20: Parámetros de complejidad

	CP	nsplit	rel error	xerror	xstd
1	0.17998905	0	1.0000000	1.0000000	0.008321743
2	0.02819600	1	0.8200109	0.8200109	0.008171138
3	0.01665298	2	0.7918149	0.7918149	0.008122896
4	0.01017429	5	0.7418560	0.7485628	0.008035339
5	0.01000000	8	0.7113332	0.7408979	0.008018078

Fuente: elaboración propia

Se analizó la tabla de parámetros de complejidad (CP) para asegurar que el árbol no presente sobreajuste. Se observa que el error de validación cruzada (**xerror**) disminuye de forma constante a medida que aumenta el número de divisiones, alcanzando su punto más bajo (0.7408) con 8 divisiones. Esto confirma que el modelo actual captura patrones reales en los datos y mantiene una buena capacidad de generalización.

Figura 21: Matriz de Confusión (datos validación)

```
> confusionMatrix(as.factor(prediccion_validacion_cod),
+                  as.factor(validacion$BikePurchase))
Confusion Matrix and Statistics

Reference
Prediction   0     1
          0 1276  687
          1  594 1139

Accuracy : 0.6534
95% CI  : (0.6378, 0.6688)
No Information Rate : 0.506
P-Value [Acc > NIR] : < 2e-16

Kappa : 0.3063

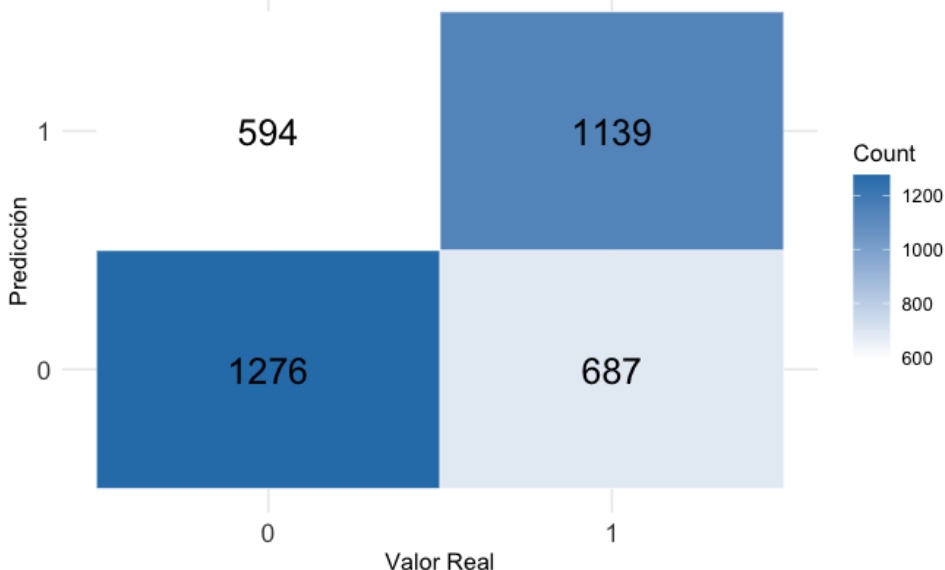
McNemar's Test P-Value : 0.01016

Sensitivity : 0.6824
Specificity : 0.6238
Pos Pred Value : 0.6500
Neg Pred Value : 0.6572
Prevalence : 0.5060
Detection Rate : 0.3452
Detection Prevalence : 0.5311
Balanced Accuracy : 0.6531

'Positive' Class : 0
```

Fuente: elaboración propia

Figura 22 Matriz de confusión grafica (datos validación)



Fuente: elaboración propia

El modelo alcanza una precisión del **65.34%**, clasificando correctamente a 2.415 individuos. Presenta un desempeño equilibrado, con una capacidad ligeramente superior para identificar con éxito a los no compradores (1,276 aciertos). Los niveles de error se mantienen estables en ambas categorías, lo que valida al árbol como una herramienta fiable para la segmentación estratégica de clientes, superando con claridad el rendimiento de la frecuencia base.

Figura 23: Importancia de las variables

Variable importance				
as.factor(NumberCarsOwned)	23	Age	as.factor(TotalChildren)	as.factor(Country)
as.factor(Education)	10	as.factor(YearlyIncome)	17	17
			as.factor(Occupation)	16
		9	8	

Fuente: elaboración propia

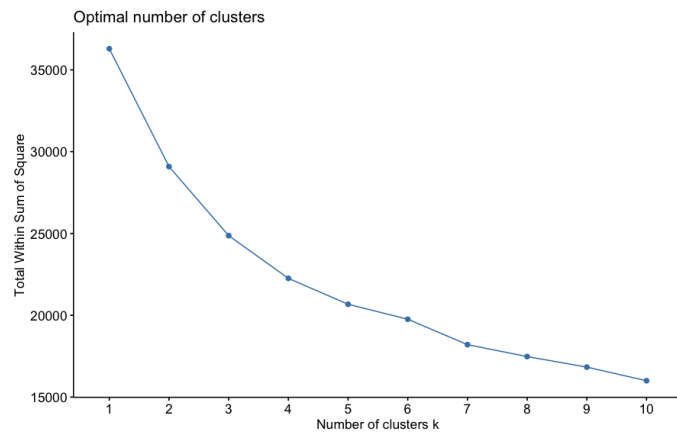
El modelo sitúa la cantidad de vehículos en propiedad (**NumberCarsOwned**) como el factor determinante con una puntuación de 23, estableciéndose como el principal criterio de clasificación. En un segundo nivel de relevancia se encuentran la edad (17), el número de hijos (17) y la ubicación geográfica (16), factores que presentan una influencia muy equilibrada entre sí. Por el contrario, el nivel educativo, los ingresos anuales y la ocupación muestran los pesos más bajos,

indicando que tienen un impacto significativamente menor en la estructura de decisión del modelo.

### 3. MODELOS DE APRENDIZAJE NO SUPERVISADO

#### 3.1 Modelo de clusterización K-MEANS

Figura 24: Gráfica del Método del Codo



Fuente: elaboración propia

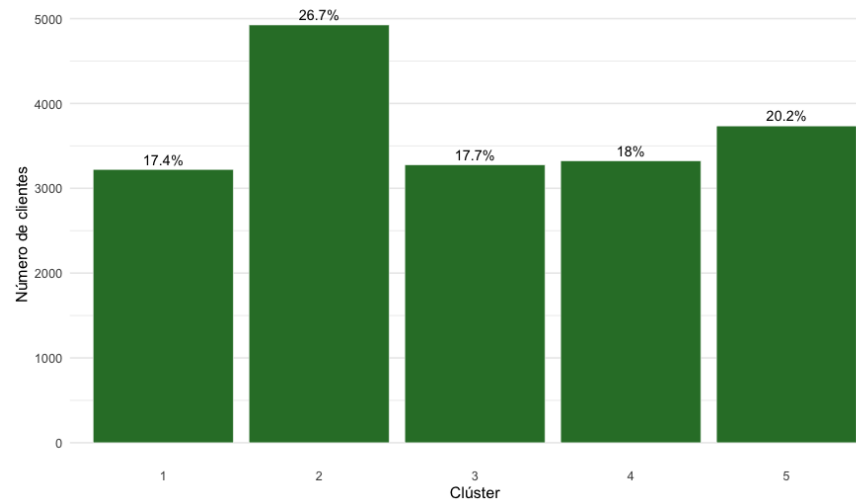
Se aplicó el método del codo para determinar el número óptimo de clústeres. Interpretamos que el número que nos ofrece una mayor cohesión interna y una mejor separación entre los segmentos es k=5.

Figura 25: Matriz de medias estandarizadas de los clústeres

Cluster means:									
	TotalAmount	BikePurchase	Age	TotalChildren	HomeOwnerFlag	NumberCarsOwned	Education_Num	Occupation_Num	YearlyIncome_Num
1	-0.5459482	-0.5952002	0.6385352	0.4724570	0.08871696	0.18710529	-0.89583744	-0.5840845	
2	0.2840854	0.6526129	-0.3718428	-0.3579727	0.39666296	-0.97353607	0.65913078	-0.3060638	
3	-0.4199607	-0.4077068	-1.0450819	-1.0157234	-0.81818549	-0.08480446	-0.64835821	-0.8525079	
4	1.3030903	1.0119465	0.2958307	0.1735888	-0.13647635	0.55126770	0.09922306	0.7727834	
5	-0.6949452	-0.8901448	0.5932341	0.8012405	0.23963412	0.70636568	0.38403277	0.9677448	
	YearlyIncome_Num								
1	-0.7017828								
2	-0.3307800								
3	-0.7145446								
4	0.8801211								
5	0.8853030								

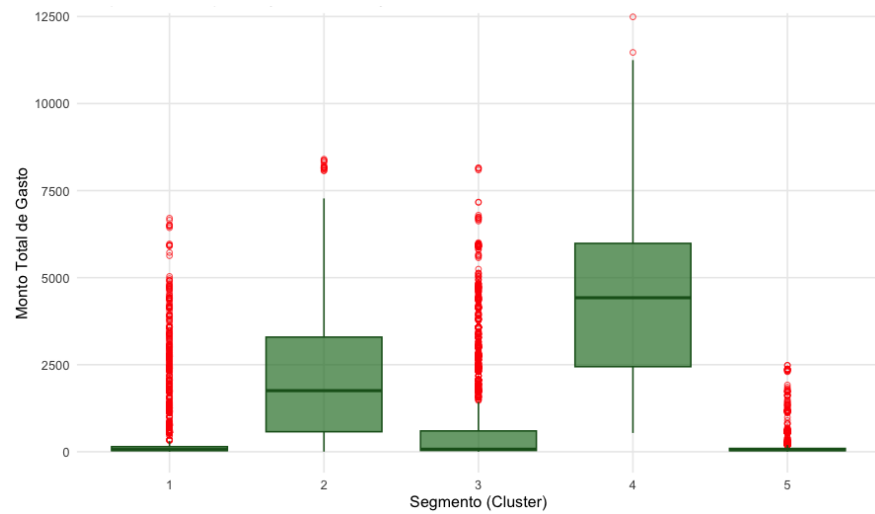
Fuente: elaboración propia

Figura 26: Número de clientes por Clúster



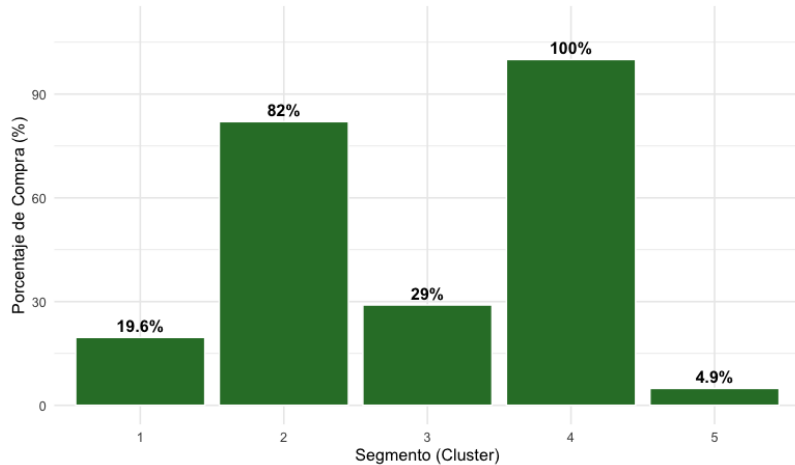
Fuente: elaboración propia

Figura 27: Distribución del TotalAmount por clúster



Fuente: elaboración propia

Figura 28: Tasa de compra de bicicleta por clúster



Fuente: elaboración propia

### 3.1.1 Interpretación de los grupos de clientes

#### Clúster 1: Perfil Maduro de Recursos Limitados (17,4%)

Este segmento agrupa a personas de mayor edad con niveles educativos y técnicos bajos. Aunque son propietarios de sus viviendas y tienen cargas familiares, sus ingresos son bastante reducidos (-0,70).

#### Clúster 2: El Motor de Ventas (26,7%)

Es el segmento más numeroso y el perfil estándar de éxito para el negocio. Se define como un grupo de profesionales urbanos con una alta compra de bicicletas (0,65). Su rasgo más distintivo es la mínima tenencia de vehículos (-0,97), lo que sugiere que utilizan la bicicleta como su principal medio de transporte o estilo de vida. Poseen niveles de educación y estatus profesional superiores a la media, consolidándose como el núcleo del volumen de ventas.

#### Clúster 3: Jóvenes en Crecimiento (17,7%)

Compuesto por los clientes más jóvenes del conjunto de datos (-1,04 en edad). Presentan ingresos limitados y no poseen vivienda propia, lo que se traduce en un gasto y un interés por la compra inferiores al promedio. Representan un mercado potencial a largo plazo, pero con una capacidad de conversión inmediata reducida debido a su etapa vital actual.

#### Clúster 4: El Segmento VIP (18,0%)

Representa la élite comercial de Adventure Works. Este grupo registra el gasto más elevado (1,30) y una probabilidad de compra absoluta (1,01). Son clientes de mediana edad con ingresos altos y perfiles profesionales cualificados. Aunque poseen vehículos, su alta capacidad económica les permite invertir en productos de gama alta, convirtiéndolos en el segmento más rentable por cliente.

#### Clúster 5: El Perfil de Alta Renta No Comprador (20,2%)

Este grupo es un hallazgo crítico: a pesar de tener los ingresos y puestos de trabajo más altos de la muestra (0,88 y 0,96), su disposición de compra es la más baja (-0,89). Su comportamiento está condicionado por un estilo de vida familiar maduro (muchos hijos) y una alta dependencia del automóvil (0,70), factores que actúan como barreras de entrada para la adquisición de bicicletas.

## ÍNDICE DE FIGURAS

Figura 1 Comandos básicos R .....	3
Figura 2: Matriz de correlación .....	4
Figura 3: Matriz de correlación grafica .....	4
Figura 4: Importe medio por rango de edad .....	5
Figura 5: Importe medio por país .....	5
Figura 6: Número de clientes por país.....	6
Figura 7: Distribución de clientes por edad y país.....	6
Figura 8: Proporción de compras por rango de ingresos.....	7
Figura 9: Proporción de compras por rango de edad.....	7
Figura 10: Modelo de regresión logística 1 .....	8
Figura 11 Modelo de regresión logística 2 .....	9
Figura 12 Cálculo del VIF (Variance Inflation Factor).....	10
Figura 13: Test de Hosmer-Lemeshow .....	10
Figura 14: Distancia de Cook.....	11
Figura 15: Matriz de confusión (datos de validación) .....	12
Figura 16: Matriz de confusión gráfica (datos de validación) .....	13
Figura 17: Cálculo de <i>accuracy base</i> .....	13
Figura 18: Modelo Árbol de decisión .....	14
Figura 19: Modelo Árbol de Decisión (Gráfica).....	14
Figura 20: Parámetros de complejidad .....	14
Figura 21: Matriz de Confusión (datos validación) .....	15
Figura 22 Matriz de confusión grafica (datos validación) .....	16
Figura 23: Importancia de las variables.....	16
Figura 24: Gráfica del Método del Codo .....	18
Figura 25: Matriz de medias estandarizadas de los clústeres .....	18
Figura 26: Número de clientes por Clúster .....	19
Figura 27: Distribución del TotalAmount por clúster .....	19
Figura 28: Tasa de compra de bicicleta por clúster.....	20